

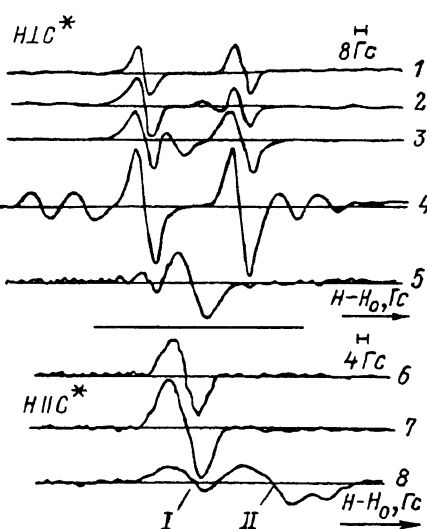
## ФАЗОВЫЕ ПЕРЕХОДЫ В СЛОИСТЫХ КРИСТАЛЛАХ $TlGaSe_2$

*H. T. Мамедов, Е. С. Крупников, А. М. Панич*

Ранее [1, 2] сообщалось о ЯМР исследований  $^{205}Tl$  и  $^{203}Tl$  и измерениях теплоемкости в слоистых кристаллах  $TlGaSe_2$ . По последним данным [3], при комнатной температуре эти кристаллы имеют пространственную группу симметрии  $C_{2h}^6$ .

В настоящей работе приводятся результаты исследований спектров ЯМР  $^{71}Ga$  и новые данные по теплоемкости  $TlGaSe_2$  в области температур 105—300 К.

Спектры ЯМР  $^{71}Ga$  в монокристалле  $TlGaSe_2$  объемом  $\sim 7 \text{ см}^3$  регистрировались непрерывным методом на частотах 10.8 и 23.0 МГц. При комнатной температуре на частоте 10.8 МГц спектр  $^{71}Ga$  в ориентации  $H \perp C^*$  ( $C^*$  — нормаль к слоям) представляет собой дублетную линию (рис. 1, 1), в то время как в ориентации  $H \parallel C^*$  наблюдается синглет (рис. 1, 6). Расстояние между линиями дублета обратно пропорционально магнитному полю. Наблюдаемые линии могут быть отнесены к переходам  $1/2 \rightarrow -1/2$  в спектрах двух структурно-неэквивалентных ядер  $^{71}Ga$ , а их положение обусловлено квадрупольными эффектами 2-го порядка.



При понижении температуры до 247 К спектр  $^{71}Ga$  в ориентации

Рис. 1. Спектры ЯМР  $^{71}Ga$  в кристаллах  $TlGaSe_2$ .

$H \perp C^*$ : 1 —  $T = 300$ , 2 — 247, 3 — 224, 4 — 153,

5 — 110 К;  $H \parallel C^*$ : 6 — 300, 7 — 129, 8 — 110 К.

$H \parallel C$  практически не изменяется (рис. 1, 7). В ориентации  $H \perp C^*$  происходит трансформация спектра, сопровождающаяся появлением в его центральной части дополнительной линии, положение которой зависит от температуры (рис. 1, 2, 3). Подобное поведение спектра свидетельствует о структурных изменениях в  $TlGaSe_2$  вблизи 250 К.

На рис. 2 приведены результаты измерений удельной теплоемкости  $C_p$  в интервалах температур 105—125 и 245—260 К. Исследования проводились с шагом 0.5 К и с величиной нагрева  $\Delta T$  образца относительно теплостока, равной 0.75 К, а для интервала 245—260 К также еще и с шагом 0.3 К и  $\Delta T = 0.4$  К (рис. 2, 2). Измерения велись релаксационным методом [4] на тонкой пластиинке  $TlGaSe_2$ , весом 16.8 мг, сколотой из образца, на котором исследовался ЯМР  $^{71}Ga$ .

Как видно из рис. 2, в интервале 245—260 К уменьшение шага измерения и величины  $\Delta T$  приводит не только к росту аномальной части  $C_p(T)$ , но и к появлению отрицательной (относительно регулярной  $C_p(T)$ ) штриховой кривой на рис. 2) части теплоемкости. Ход кривой I близок к результатам [5], полученным на адиабатическом калориметре при исследовании поликристалла  $TlGaSe_2$ . Рассчитанные изменения удельной энталпии  $\Delta H$  и энтропии  $\Delta S$  при шаге 0.5 К составляют 23 Дж/моль и 0.09 Дж/моль·К; при шаге 0.3 К — 53 Дж/моль и 0.21 Дж/моль·К.

соответственно. Для «отрицательной» аномальной части  $C_p(T)$  эти величины соответственно равны 33 Дж/моль и 0.13 Дж/моль·К. Малая величина  $\Delta S$  и наличие отрицательных значений  $\Delta H$  позволяют отнести наблюдаемый фазовый переход к переходу 1-го рода типа смешений. В интервале 125—245 К нерегулярное поведение  $C_p(T)$  не обнаружено.

В то же время в спектрах ЯМР  $^{71}\text{Ga}$  в ориентации  $\mathbf{H} \perp \mathbf{C}^*$  вплоть до 196 К происходит температурная перестройка, описанная выше, а при дальнейшем понижении  $T$  в спектрах возникают дополнительные (сателлитные) линии (рис. 1, 4). Заметим, что температура 252.5 К, при которой имеет место описанный выше фазовый переход, и 196 К практически совпадают с температурами, при которых авторы [6] наблюдали расщепление мягкой моды на две компоненты и аномальное увеличение частоты одной из них соответственно. Спектр  $^{71}\text{Ga}$  при  $\mathbf{H} \parallel \mathbf{C}$  не изменяется вплоть до 125 К.

Понижение  $T$  ниже 125 К сопровождается существенными изменениями спектров  $^{71}\text{Ga}$  в обеих ориентациях:  $\mathbf{H} \perp \mathbf{C}^*$  (рис. 1, 5) и  $\mathbf{H} \parallel \mathbf{C}^*$

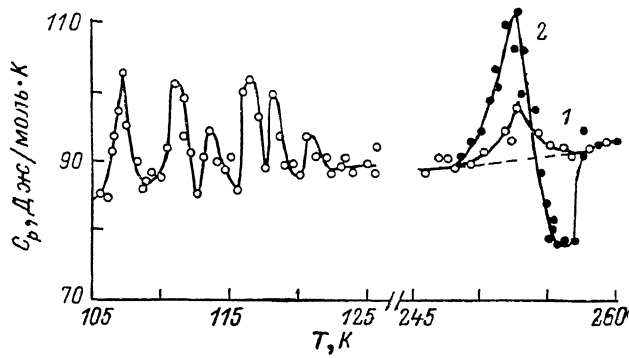


Рис. 2. Температурная зависимость теплоемкости в кристаллах  $\text{TlGaSe}_2$ .

(рис. 1, 8). В ориентации  $\mathbf{H} \parallel \mathbf{C}^*$  при  $T=120$  К в спектрах появляется дополнительная линия II, интенсивность которой растет по мере уширения линии I вплоть до 114 К. При  $T=119$  К появляется дополнительная компонента линии II в области большего поля и спектр  $^{71}\text{Ga}$  соответствует либо квазинепрерывному распределению частот [7], характерному для истинно несоразмерной фазы, либо представляет собой суперпозицию пиков, отвечающих соразмерной сверхструктуре. В пользу последнего предположения свидетельствует зависимость  $C_p(T)$   $\text{TlGaSe}_2$ . В области 105—125 К  $C_p(T)$  обнаруживает нерегулярный характер (рис. 2). Особенности при  $T=107.3, 111, 113.5, 118$  и  $120.5$  К могут быть интерпретированы как совокупность размытых  $\delta$ -пиков, связанных с последовательностью фазовых переходов между пиннингованными соразмерными состояниями.

В силу того что в интервале температур 114—120 К линии I и II в спектрах ЯМР  $^{71}\text{Ga}$  сосуществуют (постоянный градиент  $T$  на образце не превышал 2 К), причиной пиннинга, вплоть до 114 К, по-видимому, являются дефекты. Ниже 114 К главную роль начинает играть дискретность кристаллической структуры и проявляется «дьявольская лестница».

Значения квадрупольных констант и ориентация тензоров градиента электрического поля на ядрах  $^{71}\text{Ga}$  в области 105—300 К, необходимые для более подробного описания фазовых переходов в  $\text{TlGaSe}_2$ , будут опубликованы нами в ближайшем будущем после окончания исследований порошков  $\text{TlGaSe}_2$ .

Авторы выражают глубокую признательность С. П. Габуде и Н. К. Морозу за помощь в работе.

# Л и т е р а т у р а

- [1] Панич А. М., Габуда С. П., Мамедов Н. Т. // ФТТ. 1987. Т. 29. № 10. С. 3289—3291.
- [2] Абдуллаева С. Г., Мамедов Н. Т., Мамедов Ш. С. и др. // Препринт № 219. Баку, 1987. 19 с.
- [3] Henkel W., Hochheimer H. D., Carbone G. et al. // Phys. Rev. B. 1982. V. 26. N 5. P. 3211—3229.
- [4] Бахман Р., Дисалво Ф. Дж., Джеболл Т. Х. // Приборы для научных исследований. 1972. № 2. С. 21—31.
- [5] Aldzhanov M. A., Guseinov N. G., Mamedov Z. N. // Phys. St. Sol. 1987. V. A100. N 2. P. K145—K148.
- [6] Волков А. А., Гончаров Ю. Г., Козлов Г. В., Сардарлы Р. М. // Письма в ЖЭТФ. 1984. Т. 38. № 7. С. 293—295.
- [7] Blinc R., Seliger J., Zumev S. // J. Phys. C. 1985. V. 18. N 11. P. 2313—2321.

Институт физики АН АзССР  
Баку

Поступило в Редакцию  
27 апреля 1988 г.  
В окончательной редакции:  
12 июля 1988 г.

УДК 537.322+661.66

Физика твердого тела. том 31, в. 1, 1989  
Solid State Physics, vol. 31, № 1, 1989

## ТЕРМОЭДС ПОЛИКРИСТАЛЛИЧЕСКОГО ГРАФИТА

И. Я. Левинтович, А. С. Котосонов

Тензор дифференциальной термоэдс, возникающей в графите при наличии градиента температуры, имеет два главных значения:  $\alpha_1$  — вдоль базисной плоскости и  $\alpha_3$  — вдоль оси  $c$ , перпендикулярной плоскости слоя. При комнатной температуре значения  $\alpha_1$  и  $\alpha_3$  в монокристалле графита, согласно [1], имеют не только разные абсолютные значения, но и разные знаки  $\alpha_1 = -9$ ,  $\alpha_3 = 6 \text{ мкВ/К}$ , причем величина  $\alpha_1$  является чувствительной функцией дефектности графитоподобных слоев [1, 2].

Цель работы заключалась в том, чтобы установить, каким образом измеряемая величина термоэдс поликристаллического графита связана с термоэдс кристаллитов в плоскости слоя  $\alpha_1$ .

Термоэдс поликристалла оценивали на основе симметричного варианта метода эффективной среды [3—5]. Сущность метода заключается в том, что пространство поликристалла, окружающее некий произвольно выделенный кристаллит, приближенно заменяют однородной (эффективной) средой, свойства которой совпадают с макроскопическими свойствами поликристалла. Рассмотрим для простоты изотропный поликристалл, состоящий из кристаллитов в виде равноосных полизидров, которые будем аппроксимировать сферами. В дальнейшем будет ясно, что такие ограничения, как изотропия или форма кристаллитов, несущественны.

Создадим в поликристалле макроскопический градиент температуры  $\nabla T$  вдоль некоторой оси  $z$ . Тогда вследствие термоэлектрического эффекта в образце возникнет макроскопическое электрическое поле напряженности  $E = \alpha \nabla T$ , где  $\alpha$  — эффективная термоэдс поликристалла, которая в изотропном материале является скаляром. Пусть некоторый произвольно выбранный кристаллит расположен таким образом, что его ось  $c$  составляет с осью  $z$  угол  $\theta$ , а главные значения тензоров термоэдс  $\alpha_{ij}$ , электро проводности  $\sigma_{ij}$  и теплопроводности  $\lambda_{ij}$ , равны соответственно  $\alpha_1$ ,  $\sigma_1$ ,  $\lambda_1$  вдоль базисной плоскости и  $\alpha_3$ ,  $\sigma_3$ ,  $\lambda_3$  вдоль оси  $c$  кристаллита. Полагая, что объем поликристалла, окружающий данный кристаллит, представляет собой однородную среду с эффективными скалярными величинами термоэдс, электро- и теплопроводности, равными соответственно